

รายการอ้างอิง

หนังสือและบทความในหนังสือ

การจัดการคุณภาพน้ำในโรงงานอุตสาหกรรม รศ.ดร.ประยูร ฟองสถิตกุล รศ.ปีติ พูนไชยศรี
 รศ.สมทรง อินสว่าง พิมพ์ครั้งที่ 2 2544 มหาวิทยาลัยสุโขทัยธรรมชาติราช
 บัณฑิตศึกษา สาขาวิชาวิทยาศาสตร์สุขภาพ ปากเกร็ด นนทบุรี 11120 หน้า 136-143,
 293-294

การผลิตน้ำสำหรับอุตสาหกรรม ไฟศาล วีรภิจ พิมพ์ครั้งที่ 1 เดือนกันยายน 2545
 โดยบริษัท เอ็มแอนด์อี จำกัด บทที่ 8 การผลิตน้ำอ่อนด้วย Ion Exchange Resin หน้า
 109-115

วิศวกรรมกำจัดน้ำเสีย เล่มที่ 2 เกรียงศักดิ์ อุดมสินใจน์ พิมพ์ครั้งที่ 2 พ.ศ. 2535 โดยมิตรรา
 การพิมพ์ หน้า 30-33 และ 218-243

เอกสารประกอบการสอนวิชา กพ 621 สถิติและเศรษฐศาสตร์เพื่อการจัดการสิ่งแวดล้อม, สมบูรณ์
 นุชประยูร และวันวิสาข์ สงวนภาพ, 2548

เอกสารอื่น ๆ

การประเมินภูมิภาค, มาตรฐานคุณภาพน้ำประจำ, 16 กรกฎาคม 2550

คุณภาพน้ำบาดาลและการปรับปูจให้ได้มาตรฐานน้ำดื่ม, กองวิเคราะห์น้ำบาดาล กรมทรัพยากร
 น้ำบาดาล, 2553

จันทรพร พลาฤล, การศึกษาがらไกการรวมตະกອນด້ວຍເຕັນີໄຟຟ້າເຄມືແລກການພົມນາ
 ເຄື່ອງຕົ້ນແບບ, ມາຫວິທາລິຍເຕັນໂລຢີພະຈອມເກົ່າພະນັກງານເກົ່າພະນັກງານ (2551)

เอกสารอื่น ๆ (ต่อ)

ประกาศกระทรวงอุตสาหกรรม เรื่อง มาตรการควบคุมปริมาณความสกปรกของน้ำทิ้งจากภาคอุตสาหกรรมเพื่อพื้นฟูคุณภาพน้ำในแม่น้ำเจ้าพระยา พ.ศ. 2551

ขัตราชอกเบี้ยเงินให้สินเชื่อ ครั้งที่ 4/2553 วันที่ 4 ธันวาคม 2553 ธนาคารไทยพาณิชย์ จำกัด

Books

Reynolds, T.D., Richards, P.A., Unit Operation and Process in Environmental Engineering 2nd Edition (1996), PWS Publishing Company.

Articles

Abuzaid, N. S., Bukhari, A.A., Al-Hamouz, Z.M., Ground water coagulation using soluble stainless steel Electrodes, Advances in Environmental Research 6 (2002), 325_333.

Den, W., Wang, C.J., Removal of silica from brackish water by Electrocoagulation Pretreatment to Prevent Fouling of Reverse Osmosis Membranes, Separation and Purification Technology 59 (2008) 318–325.

Drouiche, N., Ghaffour, N., Lounicic, H., Mameri, M., Electrocoagulation of Chemical Mechanical Polishing Wastewater, Desalination 214 (2007), 31–37.

Emamjomeh, M. M., Sivakumar, M., Review of pollutants removed by electrocoagulation and electrocoagulation/flotation processes, Journal of Environmental Management 90 (2009) 1663–1679.

Articles (continue)

Mahmut, B., Mehmet, K., Orhan, T.C., Mustafa, S., Operating cost Analysis of Electrocoagulation of Textile Dye Wastewater, Separation and Purification Technology 37(2004), p.117-125.

Malakootian, M., Yousefi, N., The Efficiency of Electrocoagulation Process Using Aluminum Electrodes in Removal of Hardness from Water, Iran. J. Environ. Health. Sci. Eng., 2009, Vol. 6, No. 2, pp. 131-136.

Malakootian, M., Mansoorian, H.J., Moosazadeh, M., Performance Evaluation of Electrocoagulation Process Using Iron-rod Electrodes for removing hardness from Drinking Water, Desalination Vol.255 (1-3), 2010, 67-77.

Martinez, S.S., Gallegos, A.A., Martinez, E., Electrolytically generated silver and Copper Ions to Treat Cooling Water: an Environmentally Friendly Novel Alternative. International Journal of Hydrogen Energy 29 (2004), 921 – 932.

Mouedhen, G., Feki, M., Wery, D.M., Ayedi H.F., beheavior of Aluminum Electrodes in Electrocoagulation Process, journal of Hazardous Materials (2008), p.124-135.

Ni'am, M.F., Othman, F., Sohaili, J., Fauzia, Z., Combined Magnetic Field and Electrocoagulation Process for SS removal from Wastewater. Proceedings of the 1st International Conference on Natural Resources Engineering & Technology 2006, 24-25th July 2006; Putrajaya, Malaysia, 384-393.

Yi, S., Ma, Y., Wang, X., Jia, Y., Pretreatment of seawater by a one-step electrochemical method , Desalination 239 (2009) , 247–256



Other Materials

Ayres, D.M., Davis, A.P., Gietka, P.M., Removing Heavy Metals from Wastewater Engineering Research Center Report, August 1994. p.5-6.

Keister, T., Cooling Tower management Basic Principles and Technology, ProChem Tech International, Inc.,(2008), p. 2-5.

Puckorius, P.R., Water Corrosion Mechanisms, Water Treatment Practical Guide ASHRAE Journal, May 1999, p.57-69.

Rafferty, K., Scaling of Geo Thermal Heat Pump, Geo-Heat Center Oregon Institute of Technology, July 1999, p. 2-4.

Electronic Media

Cooling Tower Efficiency, Energy eco-efficiency opportunities in Queensland Foundries,
สืบค้นเมื่อวันที่ 15 ตุลาคม 2553 จาก www.ecoefficiency.com.au

Silt Density Index, สืบค้นเมื่อวันที่ 5 มีนาคม 2554, จาก <http://www.lenntech.com/sdi.htm>

Water Softener, How to Soften Water สืบค้นเมื่อวันที่ 14 เมษายน 2554, จาก
<http://watersoftenersalt.net/water-softener-resin/>

Water Softener Resin สืบค้นเมื่อวันที่ 14 เมษายน 2554, จาก
www.indianion.com/resins

ภาคผนวก

ภาคผนวก ก

การคำนวณขนาดข้าไฟฟ้า ดัชนี LSI และ RSI

ก-1 การคำนวณขนาดและจำนวนของข้าไฟฟ้า

ในการคำนวณขนาดของข้าไฟฟ้าภายใต้สมมติฐานที่ว่า

- 1) Electro-coagulation มีการทำงานต่อเนื่องตลอดเวลา
- 2) การขยายขนาดของข้าไฟฟ้าไม่มีผลต่อความหนาแน่นกระแสไฟฟ้า โดยความหนาแน่นกระแสไฟฟ้าจะคงที่ไม่เปลี่ยนแปลงตามขนาดของข้าไฟฟ้า
- 3) ปริมาตรขณะที่น้ำผ่านถังปฏิกิริยานเป็น 20 ลบ.ม. ซึ่งมีขนาดใหญ่กว่าปริมาตรของตัวอย่างที่ใช้ในทำการทดลอง 200 เท่า

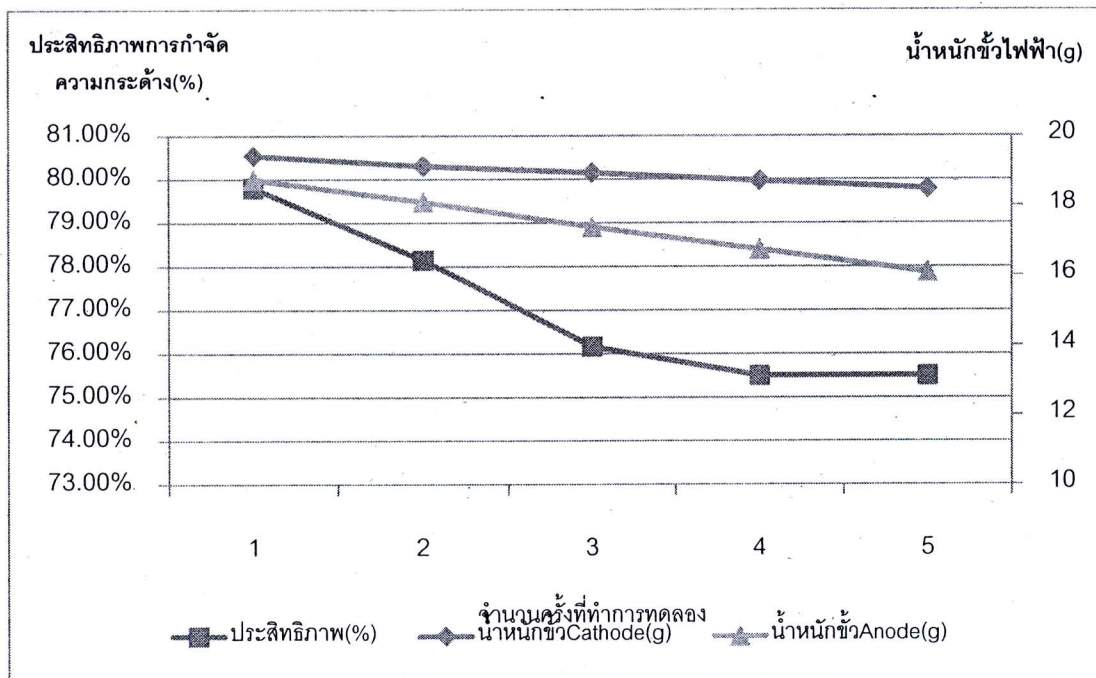
จากการทดลองพบว่าในการปรับปรุงคุณภาพน้ำบาดาลต้องใช้ข้าไฟฟ้าที่มีพื้นที่ 0.024 ตร.ม. จากสมมติฐานดังกล่าวสามารถคำนวณขนาดของข้าไฟฟ้าได้ 4.8 ตร.ม. ซึ่งทำให้ทราบค่าความต้องการกระแสไฟฟ้าโดยคำนวณจากความหนาแน่นกระแสไฟฟ้าที่ได้จากการทดลองคือ 35.8 A/m^2

$$\text{กระแสไฟฟ้าที่ต้องจ่ายให้ Electro-coagulation} = 35.8 \text{ A/m}^2 \times 4.8 \text{ m}^2$$

$$= 171.84 \text{ A.}$$

เลือกใช้เครื่องจ่ายกระแสไฟฟ้าขนาด 200 A เพื่อเป็นการเพิ่มค่า Safety factor

จากนั้นทำการทดลองหาอัตราการลดลงของข้าไฟฟ้าเมื่อโดยใช้แรงดันไฟฟ้า 10 Volt เป็นเวลา 40 นาทีจำนวน 5 ครั้งพบว่าในการทดลองแต่ละครั้งข้า Anode มีอัตราการลดลงเท่ากับ 0.682 กรัมต่อการทำปฏิกิริยาเป็นเวลา 40 นาทีหรือการทดลอง 1 ครั้ง(ความชันของแผนภูมิแสดงค่า'n'หนักของข้า Anode ที่ลดลงเทียบกับจำนวนครั้งที่ทำการทดลอง)ดังแสดงในภาพที่ ก-1



ภาพที่ ก-1 น้ำหนักข้าวไฟฟ้าที่ลดลงเมื่อใช้แรงดันไฟฟ้า 10 Volt เป็นเวลา 40 นาทีจำนวน 5 ครั้ง
เทียบกับประสิทธิภาพในการกำจัดความต้านทาน (%)

ปริมาณอลูมิเนียมที่สูญเสียไป (Mass loss) ในการปรับปรุงคุณภาพน้ำ 1 ครั้ง มีค่าเท่ากับ

$$0.682 \text{ (g/ครั้ง-} 0.024 \text{ m}^2) \times 4.8 \text{ m}^2 = 136.4 \text{ g}$$

น้ำหนักของอลูมิเนียมที่ใช้ทำข้าวไฟฟ้าที่มีความบริสุทธิ์ 99% (Mass Original) มีน้ำหนักเท่ากับ 8.2 kg ดังนั้นข้าวไฟฟ้าที่ใช้จะมีน้ำหนัก

$$(0.99 \times 8.2 \text{ kg} \times 4.8 \text{ m}^2) / 2.9728 \text{ m}^2 = 13.11 \text{ kg}$$

เมื่อกำหนดให้ข้าวไฟฟ้าใช้งานได้ 50% เหลือน้ำหนัก 50% จึงเปลี่ยนข้าวไฟฟ้า

$$\text{Mass loss} = 0.5 \times 13.11 = 6.55 \text{ kg}$$

ดังนั้นข้าวไฟฟ้า 1 ชุดจะใช้งานได้

$$6.55 / 0.1364 = 48 \text{ ครั้ง}$$

จากสมมติฐานที่กล่าวข้างต้นสามารถคำนวณจำนวนข้าวไฟฟ้าที่ต้องใช้ได้ดังนี้

$$\text{จำนวนข้าวไฟฟ้า} = \frac{(120 \text{ ลบ.ม.} \times 8,640 \text{ ซม.} \times 1 \text{ ปี})}{(20 \text{ ลบ.ม.} \times 0.1364 \text{ ครั้ง} \times 24 \text{ ชม.} \times 48 \text{ ครั้ง} \times 1 \text{ ปี})} = 45 \text{ ชุด/ปี}$$

ก-2 การคำนวณขนาดของร่างระบายน้ำของถังตกตะกอน

ร่างระบายน้ำเข้า

กำหนดให้ร่างรับน้ำเข้าสู่ถังตกตะกอนมีความกว้าง 0.5 ม. ยาวตลอดความกว้างของถังตกตะกอน (1.3 ม. x 0.5 ม.) และกำหนดให้น้ำไหลผ่านแผ่นกันที่มีช่องเปิดขนาด 25 cm. ตลอดความลึกของระดับน้ำในถัง 1.5 เมตร โดยติดแผ่นกันให้ห่างจากร่างรับน้ำเข้าที่ระยะห่าง 10% ของความยาวถังเพื่อกระจายน้ำให้เข้าสู่ถังอย่างสม่ำเสมอซึ่งสามารถคำนวณความเร็วของน้ำที่ไหลเข้าสู่ร่างรับน้ำเข้าถังตกตะกอนได้ดังนี้

$$V_{\max} = \frac{\text{อัตราการใช้น้ำ(ลบ.ม./วินาที)}}{\text{พื้นที่ของร่างรับน้ำเข้าถังตกตะกอน(ตร.ม.)}}$$

$$\begin{aligned} &= \frac{120}{(24 \times 60 \times 60 \times 1.3 \times 0.5)} \\ &= 0.00214 \text{ เมตร/วินาที} \end{aligned}$$

ร่างระบายน้ำออก

กำหนดค่า weir loading 150 ลบ.ม./ม.-วัน (เกรียงศักดิ์ อุดมสินโรจน์, 2535, น. 218-243) สามารถหาความยาวฝายได้จาก

$$\begin{aligned} \frac{\text{อัตราการใช้น้ำ (ลบ.ม.)}}{\text{อัตราการไหลล้นของฝาย(ลบ.ม./ม.-วัน)}} &= \frac{120}{150} \\ &= 0.8 \text{ เมตร} \end{aligned}$$

เลือกใช้ฝายน้ำล้นสามเหลี่ยมมุม 90° (V-notch weir 90°) สามารถหาอัตราการไหลของน้ำที่ระบายน้ำออกจากถังตกตะกอนที่ผ่านแต่ละฝายได้จาก

$$q = 1.47 H^{2.5} (\text{ลบ.ม./วินาที})$$

เมื่อกำหนดให้ $H=0.03$ m สามารถคำนวณอัตราเร้น้ำไหลล้นในแต่ละ notch

$$\begin{aligned} &= 1.47 \times 0.03^{2.5} \\ &= 0.000229 \text{ ลบ.ม./วินาที} \end{aligned}$$

$$= 0.825 \text{ ลบ.ม./ชั่วโมง}$$

คำนวณจำนวนช่องของฝายน้ำล้นจาก weir loading ได้ดังนี้

$$= \frac{150}{(0.825 \times 24)} \\ = 7.57 \text{ หรือ } 8 \text{ ช่อง/เมตร}$$

กำหนดให้มีฝายน้ำล้นยาวตลอดแนวด้านกว้างของถังตักตะกอนซึ่งเท่ากับ 1.3 เมตร ดังนั้นต้องใช้ฝายน้ำล้นจำนวน $1.3 \times 8 \text{ notch} = 10.4$ หรือ 11 ช่อง

สำหรับการคำนวณขนาดของรางระบายน้ำออกจากถังตักตะกอน กำหนดให้รางระบายน้ำออกจากถังตักตะกอนมีความกว้าง 0.5 เมตร ยาวตลอดแนวตามความกว้างของถังตักตะกอนหรือ 1.3 เมตรสามารถคำนวณความลึกของน้ำในรางระบายน้ำได้จากการสมการ (Reynolds และ Richards, 1996)

$$\text{ความสูงของระดับน้ำ } h \text{ ณ ตำแหน่งต้นน้ำในรางระบายน้ำ} (H_0) = \sqrt{d^2 + \frac{2Q^2}{gb^2d}}$$

เมื่อ d คือระดับน้ำที่ทางออกของรางระบายน้ำมีค่าเท่ากับ 0.009236 ม. ชีว์คำนวณจาก

$$d = \left(\frac{Q^2}{b^2 g} \right)^{1/3}$$

Q คืออัตราการไหลของน้ำในที่นี่คือ 5 ลบ.ม./ชั่วโมงหรือ 0.00139 ลบ.ม./วินาที

g คือความเร่งเนื่องจากแรงโน้มถ่วงของโลกมีค่าเท่ากับ 9.81 m./วินาที^2

b คือความกว้างของรางระบายน้ำในที่นี่คือ 0.5 ม.

เมื่อแทนค่าในสมการจะได้ความลึกของน้ำในรางระบายน้ำเท่ากับ

$$H_0 = [0.009236^2 + \frac{(2 \times 0.00139^2)}{(9.81 \times 0.5^2 \times 0.009236)}]^{1/2} \\ = 0.01599 \text{ เมตร}$$

เมื่อน้ำไหลบนรางจะเกิดความสูญเสียจากการต้านทานการไหลที่เกิดขึ้นคิดเป็น 50% รวมกับระยะจากผิวน้ำถึงขอบรางระบายน้ำ 20 ซม.

ดังนั้นรางระบายน้ำออกจะมีขนาด $(0.001599 \times 1.5) + 0.2 = 0.224 \text{ m. เลือกใช้ } 0.3 \text{ m.}$

ก-3 วิธีคำนวณดัชนี Langelier Saturation Index: LSI และ Ryzna Stability Index: RSI

นำตัวอย่างน้ำบาดาลที่ผ่านถังกรองทรายและถังดูดซับด้วยคาร์บอนมาปรับปรุงคุณภาพด้วย Electro-coagulation ด้วยแรงดันไฟฟ้า 10V เป็นเวลา 40 นาทีและตัวอย่างน้ำที่ผ่านการแลกเปลี่ยนประจุด้วยเรซินจากโรงงานกรณีศึกษาวิเคราะห์สมบัติต่างๆ เพื่อนำมาคำนวณ LSI และ RSI จากสมการ

$$LSI = \text{pH} - \text{pH}_s$$

$$RSI = 2\text{pH}_s - \text{pH}$$

เมื่อ

$$\text{pH}_s = (9.3 + A + B) - (C + D)$$

$$A = (\log (\text{TDS}) - 1)/10$$

$$B = (-13.2 \log (\text{°c} + 273)) + 34.55$$

$$C = (\log (\text{Ca-Hardness})) - 0.4$$

$$D = \log (\text{M-Alkalinity})$$

ตารางที่ ก-1 ผลการวิเคราะห์ตัวอย่างน้ำและผลการคำนวณ LSI และ RSI

พารามิเตอร์	Electro-coagulation	Softener
TDS (mg/l)	178.1	159.1
ความกระด้างของน้ำ (mg/l as CaCO ₃)	34	0
pH	9.12	7.77
อุณหภูมิ (°c)	24.2	24.1
Alkalinity (mg/l as CaCO ₃)	68	80
pH _s	8.565	9.623
LSI	0.555	-1.853
RSI	8.009	11.475

ภาคผนวก ข
การประเมินราคาและค่าใช้จ่าย
ในการปรับปรุงคุณภาพน้ำด้วย Electro-coagulation

คำนวณมูลค่าปัจจุบันโดยใช้อัตราดอกเบี้ย 6.12% ต่อปีเมื่ออายุการใช้งาน

7 ปีดังตาราง ข-1 และ ข-2

ตาราง ข-1 มูลค่าปัจจุบันของการปรับปรุงคุณภาพน้ำด้วยการกรองทราย ดูดซับด้วยคาร์บอน และ^{แลกเปลี่ยนประจุด้วยเรซิ่น}

รายการ	มูลค่า ณ ปัจจุบัน	มูลค่าปัจจุบันเมื่อสิ้นสุดปีที่ 7
ระบบกรองด้วยทรายและคาร์บอน		
น้ำสำหรับกระบวนการล้างยอน ทรายและ คาร์บอน	119,340.00	663,363.32
แรงงานดูแลรักษา	36,000.00	200,109.60
ไฟฟ้าสำหรับเครื่องสูบน้ำ 2.2 kwh-service	57,024.00	316,973.61
ไฟฟ้าสำหรับเครื่องสูบน้ำ 2.2 kwh-back wash	1,188.00	6,603.62
สารกรองทราย (เปลี่ยนทุก 1 ปี)	21,746.00	120,877.32
คาร์บอน (เปลี่ยนทุก 1 ปี)	52,918.00	294,149.99
ไฟฟ้าสำหรับระบบควบคุมการทำงาน 7.8kw	203,212.80	1,129,578.67
ระบบกรองด้วยเรซิ่น		
เรซิ่น 700 ลิตร เปลี่ยนทุก 1 ปี	37,100.00	206,224.06
น้ำสำหรับพื้นฟูสภาพเรซิ่น	106,096.50	589,748.00
เกลือ	194,400.00	1,080,591.84
แรงงานดูแลรักษา	36,000.00	200,109.60
ค่าบำรุงด้าน้ำเสีย	212,976.00	1,183,848.39
มูลค่าปัจจุบันเมื่ออายุโครงการ 7 ปี		5,992,178.03

ตาราง ข-2 มูลค่าปัจจุบันของการปรับปรุงคุณภาพน้ำด้วย Electro-coagulation

รายการ	มูลค่า ณ ปัจจุบัน	มูลค่าปัจจุบันเมื่อ สิ้นสุดปีที่ 7
พนักงานดูแลรักษา	36,000.00	200,109.60
ไฟฟ้าสำหรับเครื่องสูบน้ำ 2.2 kwh-service	57,024.00	316,973.61
ไฟฟ้าสำหรับเครื่องสูบน้ำ 2.2 kwh-สูบตะกอน	4,752.00	26,414.47
ไฟฟ้าสำหรับ EC 3.45kwh	89,424.00	497,072.25
ไฟฟ้าสำหรับ load อื่นๆ 8.69kwh	225,244.80	1,252,045.75
น้ำสำหรับล้างอุปกรณ์ และ electrode (2ลบ.ม./ครั้ง)	14,634.00	81,344.55
Aluminum Electrode	114,181.33	634,688.34
Electrode disposal	884.77	4,918.06
Sludge disposal	267,840.00	1,488,815.42
ค่าบำรุงด้าน้ำเสีย	12,528.00	69,638.14
มูลค่าปัจจุบันเมื่ออายุโครงการ 7 ปี		4,572,020.18

การคำนวณจุดคุ้มทุนอย่างง่ายเพื่อวิเคราะห์ความอ่อนไหวเมื่อราคายังคงน้ำ และ อุณหภูมิเนี่ยมแผ่นเปลี่ยนแปลง $\pm 10\%$ ด้วยสมการ

$$\text{ระยะเวลาคืนทุนแบบง่าย} = \frac{\text{เงินลงทุนทั้งหมด}}{\text{ผลประโยชน์ที่ได้รับและผลประหยัดต่อปี}}$$

ราคากลางปัจจุบันและอุปกรณ์ต่างๆ ใช้วิธีการสืบราคายield ประมาณจากผู้จำหน่าย อุปกรณ์และตั้งตระหง่านพร้อมการติดตั้งโดยมีรายละเอียดดังนี้

- ถังไฟเบอร์กลาสขนาดเส้นผ่านศูนย์กลาง 2.75 m สูง 3.5 m จำนวน 1 ถัง ราคา 200,000 บาท
- เครื่องจ่ายไฟฟ้ากระแสสลับ AC power supply ขนาด 12 V, 166 A (output) ราคา 35,000 บาท

3. ชุดควบคุมการทำงานของเครื่องจ่ายไฟฟ้าและเครื่องสูบน้ำ ราคา 50,000 บาท
4. อุปกรณ์ในการติดตั้งและสายไฟฟ้าราคา 50,000 บาท
5. อลูมิเนียมสำหรับทำข้าวไฟฟ้าขนาดมาตรฐาน 4 ft x 6ft x 1mm ราคา 1,610 บาทต่อแผ่น
6. ถังตักตะกอนทำจากเหล็กเคลือบด้วยอิพ็อกซี่ความหนา 1 mm ขนาดกว้างxยาว xสูง (m) 1.3 x 5.2 x 2 จำนวน 1 ถัง ราคา 435,000 บาท
7. อุปกรณ์ท่อน้ำและวาล์ว 50,000 บาท
8. ถังเก็บน้ำตั้งบนดินทำจากเหล็กเคลือบด้วยอิพ็อกซี่ความหนา 1mm ความจุ 25 m³ ราคา 175,000 บาท
9. เครื่องสูบน้ำและเครื่องสูบตะกอน ราคา 133,400 บาท
10. ค่าแรงและค่าขันสั่งคิดเป็น 10% ของราคารวมเท่ากับ 113,056.25 บาท

จากข้อมูลดังกล่าวสามารถคำนวณจุดคุ้มทุนได้ดังนี้

$$\text{จุดคุ้มทุน} = \frac{1,637,618.78}{(5,992,178.03 - 4,572,020.18)}$$

$$= 6.41 \text{ ปี}$$

ภาคผนวก ค

ผลการวิเคราะห์อัลูมิเนียมในน้ำหนังจากปรับปรุงคุณภาพน้ำด้วย Electro-coagulation

ตาราง ค-1 ผลการวิเคราะห์อัลูมิเนียมที่เหลือในน้ำหนังจากปรับปรุงด้วย Electro-coagulation ที่ระดับแรงดัน 5-20 Volt เป็นเวลา 60 นาที (mg/l)

ตัวอย่าง	วิเคราะห์ครั้งที่1	วิเคราะห์ครั้งที่2	วิเคราะห์ครั้งที่3	ค่าเฉลี่ย
น้ำบ้าดาล1	1.128	1.186	1.217	1.227
น้ำบ้าดาล2	1.307	1.292	1.291	1.297
5v-10	0.341	0.365	0.067	0.258
5v-20	0.629	0.515	0.572	0.579
5v-30	0.426	0.415	0.393	0.412
5v-40	0.428	0.414	0.501	0.448
5v-50	0.128	0.126	0.197	0.150
5v-60	0.240	0.224	0.258	0.241
10v-10	0.489	0.514	0.505	0.503
10v-20	0.238	0.288	0.262	0.263
10v-30	0.279	0.270	0.225	0.258
10v-40	0.205	0.315	0.341	0.287
10v-50	0.373	0.314	0.341	0.343
10v-60	0.396	0.357	0.362	0.371
15v-10	0.505	0.539	0.492	0.512
15v-20	0.420	0.431	0.373	0.408
15v-30	0.436	0.375	0.449	0.420
15v-40	0.473	0.429	0.496	0.466
15v-50	0.520	0.454	0.512	0.495
15v-60	0.509	0.427	0.436	0.427
20v-10	0.483	0.535	0.469	0.496
20v-20	0.806	0.772	0.739	0.772

ตาราง ค-1 ผลการวิเคราะห์อัลูมิเนียมที่เหลือในน้ำหลังจากปรับปูนด้วย Electro-coagulation ที่ระดับแรงดัน 5-20 Volt เป็นเวลา 60 นาที (mg/l) (ต่อ)

ตัวอย่าง	วิเคราะห์ครั้งที่1	วิเคราะห์ครั้งที่2	วิเคราะห์ครั้งที่3	ค่าเฉลี่ย
20v-30	0.588	0.532	0.536	0.552
20v-40	0.620	0.583	0.618	0.607
20v-50	0.617	0.542	0.614	0.591
20v-60	0.560	0.557	0.613	0.577



ประวัติการศึกษา

ชื่อ	ศศิพิมพ์ มานะศิลป์
วันเดือนปีเกิด	28 สิงหาคม 2524
วุฒิการศึกษา	วิศวกรรมศาสตรบัณฑิต (สิ่งแวดล้อม) มหาวิทยาลัยเทคโนโลยีสุรนารี
ผลงานทางวิชาการ	นำเสนอผลงานวิชาการในงานประชุมวิชาการวิทยาศาสตร์ วิศวกรรมศาสตร์และการจัดการสิ่งแวดล้อม ครั้งที่ 3 (CESEM 3) ณ คณะวิทยาศาสตร์จุฬาลงกรณ์มหาวิทยาลัยในวันที่ 14- 15 มีนาคม 2554 ในหัวข้อเรื่องการปรับปรุงคุณภาพน้ำดาด สำหรับหอยเป็นเงินในโรงงานอุตสาหกรรมด้วยวิธีไฟฟ้า-เคมี (Electro-coagulation)
ประสบการณ์ทำงาน	วิศวกรสิ่งแวดล้อม บริษัท ฟาร์บิเนท จำกัด

